



## شبیه‌سازی عددی اسپری و احتراق و بررسی شکل گیری مخلوط لایه‌ای هوا و سوخت در موتور پاشش مستقیم بنزینی

سپیده سرمست سخویدی<sup>۱</sup>، امیرحسین شامخی<sup>۲\*</sup>، مسعود ضیابشرحق<sup>۲</sup>، امیرحسین پریور<sup>۳</sup>

۱- دانشجوی کارشناسی ارشد، مهندسی مکانیک، دانشگاه صنعتی خواجه نصیرالدین طوسی، تهران

۲- دانشیار، مهندسی مکانیک، دانشگاه صنعتی خواجه نصیرالدین طوسی، تهران

۳- کارشناسی ارشد، مهندسی مکانیک، شرکت تحقیق، طراحی و تولید موتور ایران خودرو (IPCO)، تهران

\* تهران، صندوق پستی ۱۹۹۹۱۴۳۳۴۴

### چکیده

هدف اصلی این مقاله، بررسی عددی شکل گیری مخلوط هوا و سوخت و پیوستگی‌های اسپری و احتراق در محفله موtor EF7 مجهز به سیستم پاشش مستقیم سوخت از نوع هدایت اسپری است. برای این منظور، ابتدا یک انژکتور شش سوراخه در سه فشار پاشش ۶، ۱۰ و ۲۰ مگاپاسکال شبیه‌سازی و به منظور صحت‌سنجی پیوستگی‌های پاشش، از نتایج تجربی انسنتیتو موتوری ایتالیا استفاده شده‌است. سپس با قرارگیری انژکتور در نزدیکی شمع و تغییر زاویه قرارگیری آن نسبت به محور محفظه، زاویه مناسب برای شکل گیری مخلوط لایه‌ای مناسب بدست آمد است. در ادامه، اثر فشار پاشش سوخت، شروع پاشش اولیه و ثانویه و همچنین، اثر پاشش دو مرحله‌ای سوخت با نسبت‌های مختلف جرم سوخت در پاشش اولیه و ثانویه بر روی شکل گیری مخلوط، تشکیل فیلم سوخت روی دیواره و الیندگی موtor بررسی شده‌است. نتایج شبیه‌سازی نشان داد که زاویه قرارگیری انژکتور به دلیل تأثیر مستقیم آن بر جرم فیلم سوخت روی دیواره بهشت بر روی شکل گیری مخلوط، افزایش توان موtor و مقدار هیدروکربن‌های نسوزنده مؤثر است. همچنین، در پاشش دو مرحله‌ای سوخت، مخلوط نسبتاً همگن و قبیر نسبت به مخلوط لایه‌ای احتراق بهتری را در دور و بار متوسط موtor نتیجه می‌دهد.

### اطلاعات مقاله

مقاله پژوهشی کامل

دریافت: ۰۱ دی ۱۳۹۵

پذیرش: ۰۳ اسفند ۱۳۹۵

ارائه در سایت: ۱۴ فروردین ۱۳۹۶

کلید واژگان:

دینامیک سیالات محاسباتی

شبیه‌سازی اسپری و احتراق

شکل گیری مخلوط لایه‌ای

موتور پاشش مستقیم بنزینی

## Numerical Simulation of Spray and Combustion and Investigation of Stratified Air-Fuel Mixture Formation in Gasoline Direct Injection Engine

Sepideh Sarmast Sakhvidi<sup>1</sup>, Amir Hossein Shamekhi<sup>1\*</sup>, Masoud ZiaBasharhagh<sup>1</sup>,  
Amir Hossein Parivar<sup>2</sup>

1- Department of Mechanical Engineering, Khaje Nasir Toosi University of Technology, Tehran, Iran

2- Combustion Development Department, IPCO, Tehran, Iran

\* P.O.B. 1999143344, Tehran, shamekhi@kntu.ac.ir

### ARTICLE INFORMATION

Original Research Paper

Received 21 December 2016

Accepted 21 February 2017

Available Online 03 April 2017

#### Keywords:

Computational Fluid Dynamics  
Gasoline Direct Injection Engine  
Spray and Combustion Simulation  
Stratified Mixture Formation

### ABSTRACT

The main aim of this paper is the numerical investigation of air-fuel mixture formation and spray and combustion characteristics of EF7 engine equipped with spray-guided direct injection system. For this purpose, first, a six-hole injector is simulated in three injection pressures 6, 10 and 20 MPa and to validate the fuel injection characteristics, the results are validated against the Istituto Motori-CNR experimental data. Then, the injector position is selected near the spark plug and by changing the injector angle relative to the axis of combustion chamber, the appropriate angle for optimization of mixture formation is obtained. Then, the effect of injection pressure, start of first and second injection as well as the effect of two-stage fuel injection with different ratios of fuel mass at first and second injection are studied on the mixture formation, wall film and engine emissions. The results showed that the injector angle is extremely effective on the mixture formation, pressure and the amount of unburned hydrocarbons due to its direct impact on wall film mass. Also, in the two-stage injection, relatively homogeneous lean mixture compared to the stratified mixture results in better combustion at part load condition.

که در آن سوخت به طور مستقیم به محفله احتراق پاشش می‌شود [۱]. این نوع از احتراق یک راه حل امیدوارکننده برای کاهش شکاف بین موتورهای بنزینی و دیزل است تا دستیابی به پیوستگی‌های مثبت هر دو احتراق، از جمله کاهش ابعاد موtor، کاهش قیمت و مقدار سوخت مصرفی، افزایش بازده و

**۱- مقدمه**  
موتورهای اشتعال جرقه‌ای با پاشش مستقیم<sup>۱</sup> ترکیبی از دو موtor احتراق داخلی اشتعال جرقه‌ای (موtor بنزینی) و اشتعال تراکمی (موtor دیزل) است

<sup>1</sup> Direct Injection Spark Ignition Engine (DISI)

#### Please cite this article using:

S. Sarmast sakhvidi, A. H. Shamekhi, M. ZiaBasharhagh, A. H. Parivar, Numerical Simulation of Spray and Combustion and Investigation of Stratified Air-Fuel Mixture Formation in Gasoline Direct Injection Engine, *Modares Mechanical Engineering*, Vol. 17, No. 3, pp. 385-396, 2017 (in Persian)

برای ارجاع به این مقاله از عبارت ذیل استفاده نمایید:





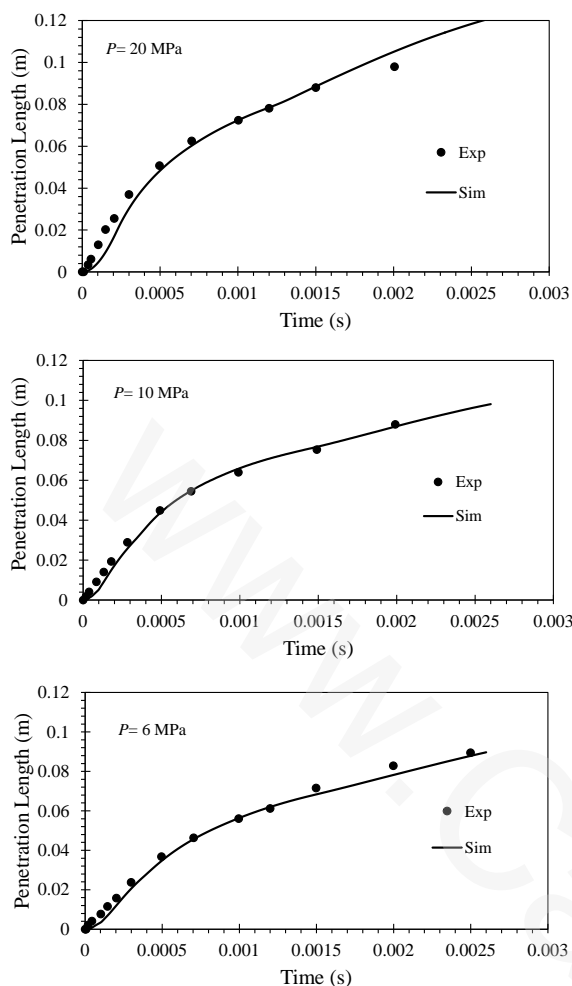


Fig. 5 The spray penetration length in different injection pressure.  
شکل ۵ طول نفوذ اسپری در فشارهای مختلف پاشش.

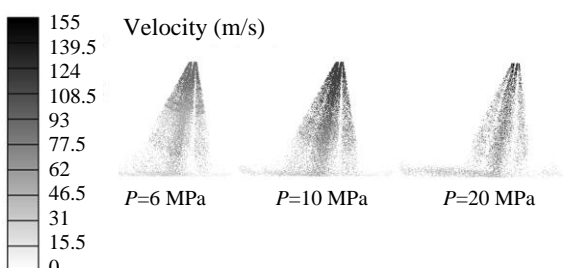


Fig. 6 Spray droplet velocity at  $t = 0.5$  ms.  
.  $t = 0.5$  ms

## 5- شبیه‌سازی دبی ورودی به محفظه و تعیین مدل‌های آشفتگی و احتراق

برای شبیه‌سازی ورود جریان هوا به محفظه احتراق، دبی جرمی لحظه‌ای به عنوان شرط مرزی در ورودی راهگاه هوا باید معلوم باشد. به دلیل در اختیار نبودن داده آزمایشگاهی، مقدار فوق با استفاده از شبیه‌سازی یک‌بعدی موتور در نرم‌افزار جی‌تی پاور<sup>4</sup> بدست آمده است.

از آنجاکه شبیه‌سازی یک بعدی قادر به حل دقیق احتراق نمی‌باشد، لازم

<sup>4</sup> GT-Power

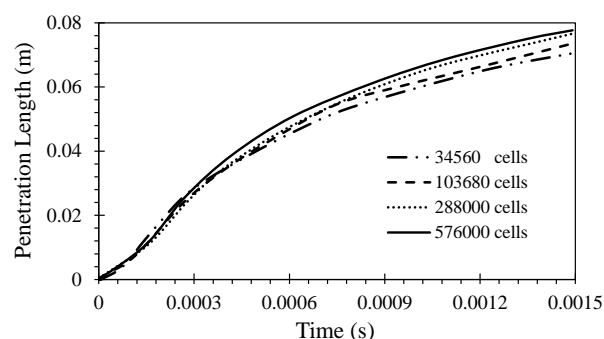


Fig. 4 Investigation of independency on the grid size ( $P=10$  MPa).  
.  $(P=10$  MPa) شکل ۴ بررسی استقلال از شبکه

$$f(d) = \frac{1}{d\sqrt{2\pi}s} \exp\left(-\frac{[\log(d) - \log(d_{avg})]^2}{2s^2}\right) \quad (9)$$

در شبیه‌سازی اسپری از مدل توربولانسی  $k-\epsilon$  استفاده شده است. حد همگرایی مومنتوم و نرخ اتلاف از مرتبه e-06 و انرژی جنبشی از مرتبه e-015 است. برای فروپاشی ثانویه از مدل ها-گاسمن<sup>1</sup> (مناسب برای انژکتورهای چندسوراخه) [14]، برای تبخیر مدل داکوویکز<sup>2</sup> [15] و برای برخورد قطرات مدل نوردین<sup>3</sup> [16] استفاده شده است. ضرایب مدل ها-گاسمن در جدول 1 آمده است. در شکل 5 طول نفوذ اسپری در فشارهای مختلف پاشش نشان داده شده است. همانطور که انتظار می‌رود با افزایش فشار پاشش سوخت، طول نفوذ اسپری افزایش می‌یابد. شکل 6 سرعت جت سوخت و شکل 7 سرعت و بردارهای آن را در صفحه گذرنده از محور استوانه (ارتفاع استوانه پس از تعیین ضرایب مدل ها-گاسمن 20 میلی‌متر در نظر گرفته شده است) نشان می‌دهد. مطابق شکل 6 و 7، با افزایش فشار پاشش سوخت، سرعت خروج جت از نازل و مقدار سطح تردیواره افزایش می‌یابد. از آنجاکه با افزایش فشار پاشش، اتمیزه‌شدن سوخت و تبخیر آن بهتر انجام می‌شود، تعیین پارامترهای مؤثر بر تشکیل فیلم سوخت برای به کارگیری انژکتورهای فشار بالا (فشارهای پاشش حدود 5 تا 25 مگاپاسکال)، از اهمیت بالایی برخوردار است.

## 5- شبیه‌سازی احتراق موتور بنزینی پاشش راهگاهی

برای شبیه‌سازی احتراق، محفوظه موتور EF7 با حجم 1645 سی‌سی در دور 3000 دور بر دقیقه و در دو شرایط کاری تمام بار و بار جزئی مورد مطالعه قرار گرفته است تا از کالیبرهای مدل احتراقی اطمینان حاصل شود.

### 5-1- نتایج آزمایشگاهی

در این مقاله، به منظور صحه‌گذاری نتایج شبیه‌سازی از نتایج آزمایشگاهی مرکز تحقیق، طراحی و تولید موتور ایران خودرو (اپیکو) استفاده شده است. مشخصات موتور EF7 در جدول 2 آمده است. جدول 3 شرایط آزمون و جدول 4 نتایج آزمایشگاهی آنالیز گازهای خروجی موتور را نشان می‌دهد.

جدول 1 ثابت  $C_1$  در مدل ها-گاسمن.

Table 1 Huh-Gosman  $C_1$  constant.

$P_{inj}$ (MPa)	20	10	6
$C_1$	6	4	4

<sup>1</sup> Huh-Gosman

<sup>2</sup> Dukowicz

<sup>3</sup> Nordin







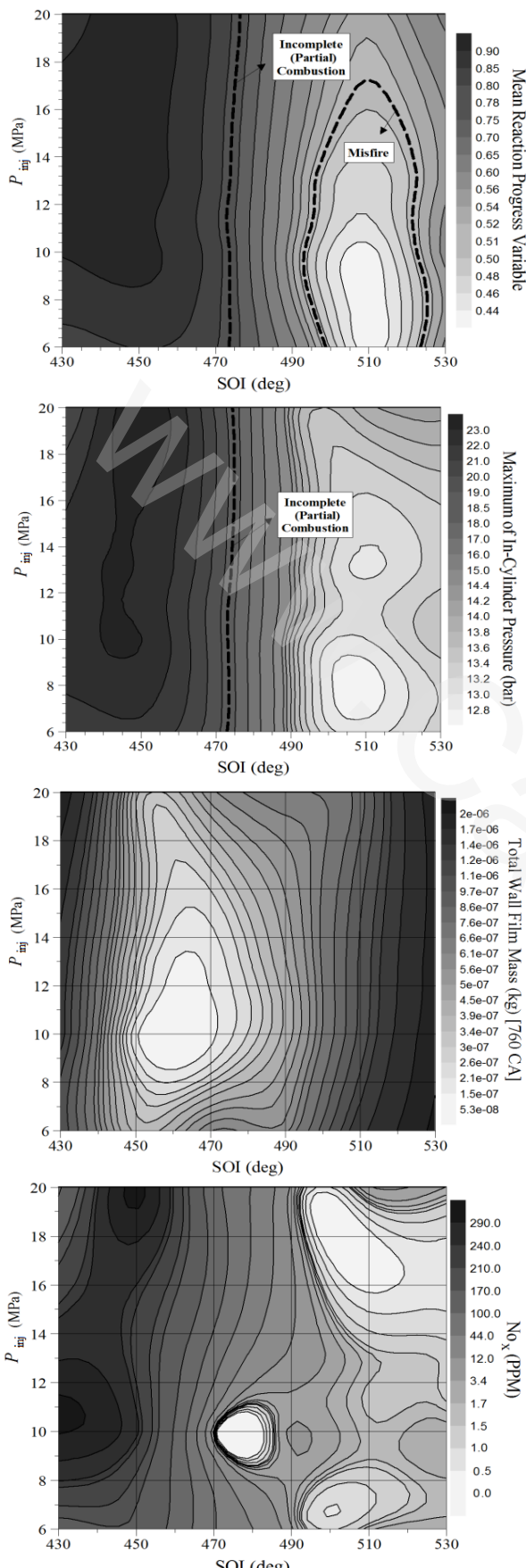


Fig. 15 Comparison of combustion parameters at different time and pressure fuel injection.

شكل ۱۵ مقایسه پارامترهای احتراقی در زمان و فشار مختلف پاشش سوخت.

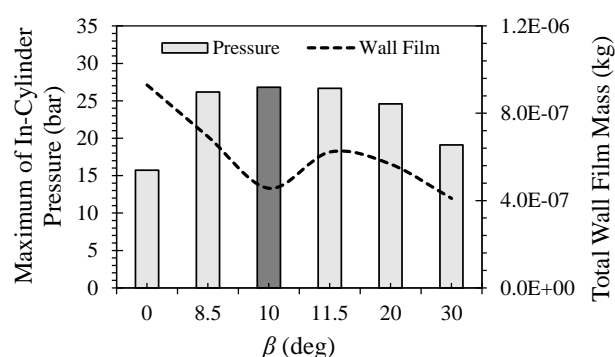


Fig. 14 تأثیر زاویه  $\beta$  بر جرم فیلم سوخت روی دیواره و مکزیم فشار احتراق

$(P_{inj} = 6 \text{ MPa}, \text{SOI } 450 \text{ CA}, \alpha = 40^\circ)$

3-3-3- تأثیر شروع پاشش و فشار پاشش سوخت بر احتراق  
 برای یافتن بهترین زمان پاشش، سوخت در سه فشار ۰.۶، ۱۰ و ۲۰ مگاپاسکال و در زمان ۴۳۰ تا ۵۳۰ درجه میل لنگ (هر ۱۰ درجه میل لنگ) پاشش شده است. پاشش زودهنگام‌تر سبب افزایش فیلم سوخت و درنتیجه کاهش مکزیم فشار محفظه می‌گردد. همچنین در پاشش یک مرحله ای سوخت، تأخیر در پاشش مانع از تشکیل مخلوط مناسب در لحظه جرقه‌زنی می‌شود. شکل ۱۵ تأثیر زمان پاشش سوخت را بر متغیر متوسط پیشرفت واکنش (بنانگ احتراق کامل و سوختن کامل سوخت برای مقدار برابر یک)، مکزیم فشار احتراق، جرم فیلم سوخت و اکسیدهای نیتروژن نشان می‌دهد. با توجه به نتایج، زاویه شروع پاشش ۴۵۰° CA در هر سه فشار پاشش منجر به تولید بیشترین توان خروجی (به دلیل کاهش جرم فیلم سوخت روی دیواره در این زاویه) می‌شود. مقدار اکسیدهای نیتروژن به دلیل احتراق ناقص و کاهش دمای ناشی از احتراق در بیشتر حالت‌های شبیه‌سازی، بسیار کم بدست آمده است. لازم به ذکر است که در نمودارهای شکل ۱۵، نسبت همارزی هوا به سوخت برابر ۱.۰۳ می‌باشد که این افزایش نسبت به حالت پاشش راهگاهی به دلیل ورود هوا بیشتر در موتور پاشش مستقیم است. با توجه به شکل ۱۶، پس از تعیین زاویه انژکتور ( $\beta = 10^\circ, \alpha = 40^\circ$ ) و زمان پاشش سوخت ( $450^\circ \text{ CA}$ )، فشار پاشش ۱۰ مگاپاسکال بهترین عملکرد را در احتراق دور و را متوجه موتور دارد.

این نتیجه را این‌گونه می‌توان توجیه کرد که در فشار پاشش ۱۰ مگاپاسکال سوخت به خوبی اتمیزه و تبخیر می‌شود و علاوه بر این، مقدار جرم فیلم سوخت در این فشار پاشش نسبت به دو فشار دیگر کمتر است. شکل ۱۷ این موضوع را به خوبی نشان می‌دهد. در این شکل نسبت همارزی سوخت به هوا در صفحه‌ای به فاصله ۶۰ سانتی‌متری از ناحیه تخت سرسیلندر (اسکوئیش) پس از پاشش سوخت نشان داده شده است.

4-3-4- تأثیر زمان جرقه‌زنی بر احتراق  
 در موتورهای پاشش مستقیم بنزینی، به دلیل ورود جریان هوا بیشتر به درون محفظه و در نتیجه تشکیل مخلوطی با نسبت هوا به سوخت بیشتر (در این مقاله ۱۵.۳۶ برای پاشش یک مرحله‌ای سوخت) می‌توان با افزایش آوانس جرقه<sup>۱</sup> بر توان خروجی حاصل از احتراق افزود. جرقه‌زنی زودهنگام به دلیل احتمال خوداشتعالی مخلوط نسوخته پیش از رسیدن جبهه شعله به آن ممکن است سبب کوبش شود، بنابراین انتخاب دقیق زمان جرقه‌زنی از

<sup>۱</sup> Spark Advance (SA)

جدول 8 مقایسه پارامترهای عملکردی موتور برای حالت‌های مختلف جرقه‌زنی.

Table 8 The comparison of engine operating parameters for Different times of ignition.

GDI 4	GDI 3	GDI 2	GDI 1	PFI	پارامتر
1820	1420	1095	627	2000	(PPM)
0.51	0.43	0.43	0.48	0.59	(٪)
11.83	11.76	11.75	11.69	12.59	(٪)
5.26	5.31	5.28	5.18	5.05	فشار مؤثر متوسط اندیکاتوری (بار)
1.045	1.045	1.045	1.045	1.045	لامدا

برتری دارد. حالت‌های 2 GDI و 3 GDI به ترتیب با کاهش 45 و 29 درصدی اکسیدهای نیتروژن، کاهش 28 درصدی مونوکسیدکربن، کاهش 6.6 درصدی دی‌اکسیدکربن و افزایش 4.32 و 4.82 درصدی فشار متوسط مؤثر اندیکاتوری بیشترین افزایش توان خروجی را دارند. همچنین با شبیه‌سازی موتور پاشش راهگاهی با نسبت همارزی هوا به سوخت 0.99 (شرایط آزمون موتور پاشش راهگاهی) مقدار فشار مؤثر متوسط اندیکاتوری برابر 5.242 است. این موضوع نشان می‌دهد که با مصرف سوخت یکسان در هر دو احتراق پاشش راهگاهی و مستقیم، علاوه‌بر افزایش توان موتور در حالت پاشش مستقیم، بازده تنفسی موتور نیز افزایش یافته است.

5-5-3-6-تأثیر زمان شروع پاشش مرحله دوم سوخت بر احتراق پاشش دو مرحله‌ای سوخت سبب شکل گیری بهتر مخلوط سوخت و هوا در موتورهای پاشش مستقیم می‌شود. به طور کلی با افزایش بار موتور استفاده از پاشش زودهنگام جهت تشکیل مخلوط همگن و افزایش توان و در بارهای بسیار کم و شرایط درجا، پاشش دیرهنگام جهت تشکیل مخلوط غنی حول شمع و کاهش مصرف سوخت توصیه می‌شود. در این مقاله سعی شده است اثر زمان پاشش مرحله دوم سوخت و نسبت‌های مختلف جرم سوخت پاشش شده در دو مرحله مورد بررسی قرار گیرد. برای این منظور، فشار پاشش 10 مگاپاسکال، زمان پاشش اولیه CA 450° انتخاب و 70 درصد سوخت در مرحله اول و 30 درصد مابقی در مرحله دوم پاشش شده است. در شکل 18 نسبت همارزی در صفحه‌های گذرنده از شمع و مقدار اکسیدهای نیتروژن در لحظه بازشدن سوپاپ دود برای زمان‌های مختلف پاشش مرحله دوم سوخت نشان داده شده است. شکل 19 نیز فشار محفوظه را در این حالت‌ها نشان می‌دهد. با توجه به شکل 18، با تأخیر در پاشش ثانویه (CA 620° تا 640°) مخلوطی غنی با نسبت همارزی بالاتر از 1.6 حول شمع تشکیل می‌شود، اما نتایج فشار محفوظه نشان می‌دهد که تشکیل مخلوط همگن می‌تواند احتراق بهتری را ایجاد کند.

6-3-6-تأثیر نسبت سوخت پاشش شده در پاشش دو مرحله‌ای بر احتراق در این بخش تأثیر نسبت جرم سوخت پاشش شده در هر مرحله از پاشش بر نسبت همارزی حول شمع در لحظه جرقه‌زنی، فشار محفوظه و مقدار اکسیدهای نیتروژن در لحظه بازشدن سوپاپ دود بررسی شده است. برای این منظور پاشش اولیه در CA 450° و ثانویه در CA 500° انجام شده است. نسبت جرم سوخت در پاشش اولیه به ثانویه از مقدار 0%-100% (بیانگر پاشش یک مرحله‌ای در زاویه CA 450° تا 400°) تا 0%-100% (بیانگر پاشش یک مرحله‌ای در زاویه CA 500° تغییر داده شده است. شکل 20 نسبت همارزی در لحظه جرقه‌زنی و مقدار اکسیدهای نیتروژن در لحظه بازشدن سوپاپ دود و شکل 21 فشار محفوظه را برای حالت‌های بررسی شده نشان می‌دهد. با

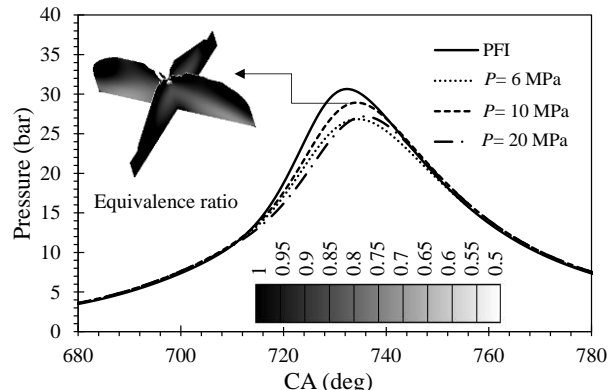


Fig. 16 The effect of injection on in-cylinder pressure.

شکل 16 تأثیر فشار پاشش سوخت بر فشار محفوظه احتراق.

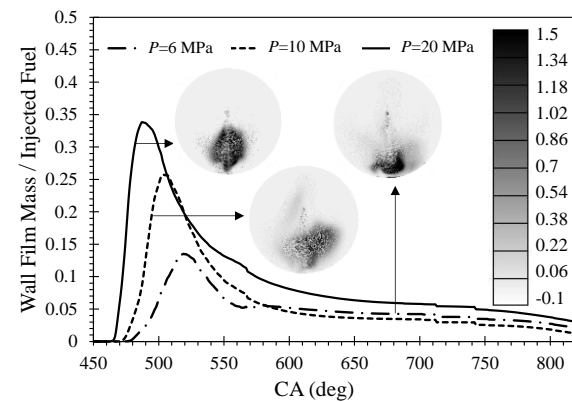


Fig. 17 The effect of injection pressure on wall film mass.

شکل 17 تأثیر فشار پاشش سوخت بر جرم فیلم سوخت.

1-اهمیت زیادی برخوردار است. برای این منظور، از مدل خوداستمالی تحریبی در نرم‌افزار فایر استفاده شده است. این مدل برای خوداستمالی انواع احتراق قابل استفاده است و به مقدار گازهای بازخوارانی شده، دما و کسر مولی مخلوط وابسته است. در جدول 7 حالت‌های موردنظر بررسی موتور پاشش مستقیم که تنها در لحظه جرقه‌زنی تفاوت دارند آمده‌اند. جدول 8 نیز نتایج توان خروجی و آلایندگی موتور پاشش مستقیم را برای چهار زمان جرقه‌زنی و در مقایسه با موتور پاشش راهگاهی نشان می‌دهد. برای مقایسه توان خروجی، فشار متوسط مؤثر اندیکاتوری ناخالص (از لحظه بستشدن سوپاپ دود) تا لحظه بازشدن سوپاپ دود) از فرمول (15) محاسبه شده است. که  $V_d$  حجم جابجایی،  $P$  به ترتیب فشار و حجم لحظه‌ای محفوظه است.

$$(gIMEP)_{\text{close valves}} = \frac{1}{V_d} \int_{IVC}^{\text{EVO}} P dV \quad (15)$$

با توجه به نتایج جدول 8، برای پاشش یک مرحله‌ای سوخت، تمام حالت‌های بررسی شده موتور پاشش مستقیم نسبت به موتور پاشش راهگاهی

جدول 7 زمان‌های مختلف جرقه‌زنی.

Table 7 Different ignition timings.

زمان جرقه‌زنی	حالت
690.15	GDI 1
686.15	GDI 2
683.15	GDI 3
680.15	GDI 4

<sup>1</sup> Empirical Knock Model<sup>2</sup> Gross Indicated Mean Effective Pressure

راهگاهی و مستقیم، علاوه بر افزایش توان موتور در حالت پاشش مستقیم، بازده تنفسی موتور نیز افزایش یافته است.

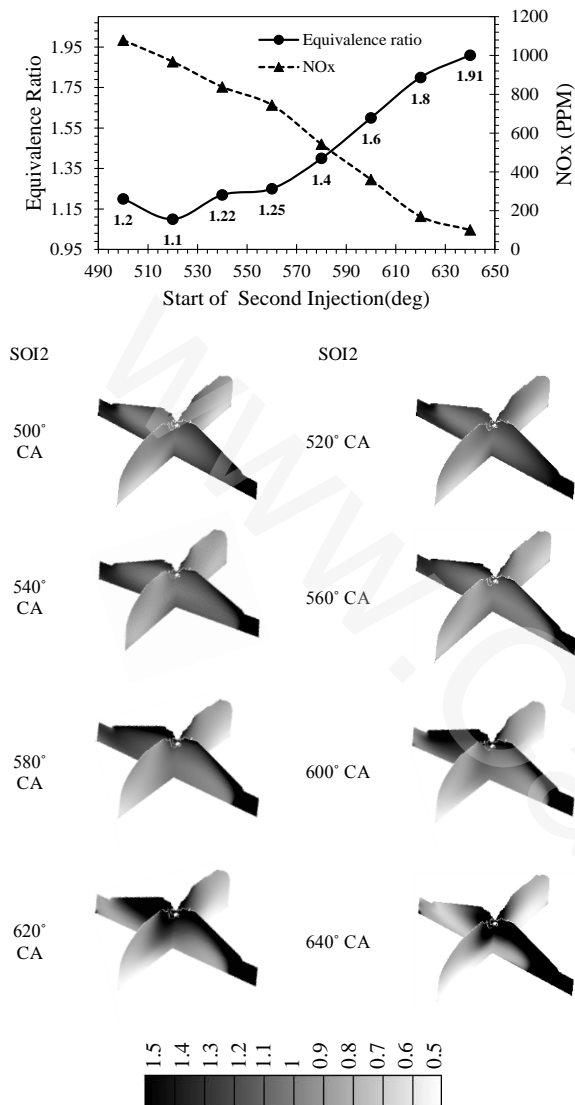


Fig. 18 The equivalence ratio near the spark plug at ignition timing and NO<sub>x</sub> emission at exhaust valve opening for different start of secondary injection.

شکل 18 نسبت همارزی در نزدیکی شمع در لحظه جرقزنی و مقادیر اکسیدهای نیتروژن در لحظه باز شدن سوپاپ دود برای زمان‌های مختلف پاشش ثانویه.

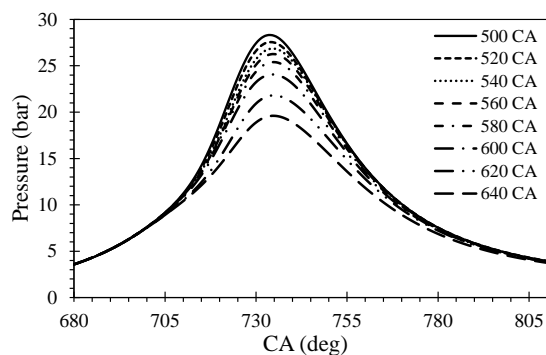


Fig. 19 The effect of start of secondary injection on in-cylinder pressure.

شکل 19 تأثیر زمان پاشش ثانویه بر فشار محفظه.

توجه به نتایج شکل 20، در نسبت‌های 80%-20% و 90%-10% مخلوط تشکیل شده همگن‌تر است. این در حالی است که در نسبت‌های 10%-90% و 20%-80% یک سمت محفظه بسیار رقیق‌تر از سمت دیگر آن است. با توجه به شکل 21، نسبت 20%-80% می‌توارد توان بیشتری نسبت به نسبت‌های دیگر ایجاد کند اما افزایش این توان نسبت به پاشش یک مرحله‌ای سوخت بسیار ناچیز است در حالی که اکسیدهای نیتروژن در این حالت بیشتر است. در جدول 9 مشخصات عملکردی و مقادیر آلایندگی موتور در سه حالت پاشش راهگاهی، پاشش یک مرحله‌ای سوخت در 450° CA و پاشش دو مرحله‌ای با نسبت‌های پاشش 80%-20% و 90%-10% مقایسه شده است.

## 7- نتیجه گیری

در این مقاله اسپری فشار بالای چندسوراخه و احتراق پاشش راهگاهی و پاشش مستقیم موتور EF7 در شرایط کاری 3000 دوربردیقه و فشار مؤثر متوسط ترمی 4bar با استفاده از نرمافزار ایوال فایر و بهصورت سه‌بعدی شبیه‌سازی شده است. در این مقاله سعی شده است تأثیر زاویه انژکتور، فشار پاشش سوخت، زمان پاشش اولیه و ثانویه سوخت و همچنین تأثیر نسبت‌های مختلف جرم سوخت پاشش شده در دو مرحله بر عملکرد و مقادیر آلایندگی موتور بررسی شود. در ادامه به نتایج بدست آمده اشاره شده است.

(الف) نتایج شبیه‌سازی پاشش یک مرحله‌ای نشان داد که زاویه قرار گیری انژکتور تأثیر زیادی بر جرم فیلم سوخت روی دیواره و بهدبال آن مقادیر ماقریزم فشار محفظه و در نتیجه توان خروجی موتور دارد. در این مقاله زاویه  $\alpha = 40^\circ$  و  $\beta = 10^\circ$  در صفحه  $y - z$  و  $\alpha = 40^\circ$  در صفحه  $z - x$  باعث تشکیل حدائق فیلم سوخت و بیشترین توان خروجی موتور می‌شود.

(ب) با قطعیت می‌توان گفت در موتورهای اشتغال تراکمی افزایش فشار پاشش بهدلیل اتمیزه شدن بهتر سوخت در پاشش دیرهنگام سبب عملکرد بهتر موتور می‌شود. در موتور پاشش مستقیم بنزینی تنها زمانی فشار پاشش اهمیت پیدا می‌کند که پاشش دیرهنگام و در مرحله تراکم انجام شود [10].

بنابراین در شرایط دور و بار متوسط موتور که معمولاً پاشش زودهنگام انجام می‌شود، زمان کافی برای تبخیر سوخت پارامتر مهم است و اتمیزه شدن و فشار پاشش تأثیر کمتری بر نتایج دارد. در این مقاله، در فشار پاشش 10 مگاپاسکال، جرم فیلم سوخت نسبت به فشار پاشش 20 مگاپاسکال کمتر است و در نتیجه توان خروجی بهتری را نتیجه می‌دهد.

(ج) نتایج نشان داد که بهترین زمان پاشش یک مرحله‌ای در هر سه فشار پاشش 450° CA است. در این زمان پاشش، مخلوطی نسبتاً همگن

و رقیق با نسبت همارزی بالاتر از یک حول شمع (حدود 1.1) و رقیق‌تر در نواحی دورتر در محفظه احتراق تشکیل می‌شود. در فشار پاشش 10 مگاپاسکال برای حالت 2 GDI و 3 GDI (مطابق مقادیر جدول 7)، بهترین کاهش 27.8 و 28 درصدی مونوکسید کربن، کاهش 45 و 29 درصدی اکسیدهای نیتروژن و افزایش 4.32 و 4.82 درصدی فشار متوسط مؤثر اندیکاتوری نسبت به حالت‌های دیگر برتری دارد. نتایج شبیه‌سازی موتور پاشش راهگاهی با نسبت همارزی هوا به سوخت 0.99 (شرایط آزمون موتور پاشش راهگاهی) نشان داد که مقدار فشار مؤثر متوسط اندیکاتوری برابر 5.24 است. این موضوع نشان می‌دهد که با مصرف سوخت یکسان در هر دو احتراق پاشش

جدول ۹ مقایسه عملکرد و آلایندگی موتور EF7 در شرایط مختلف.

Table 9 The comparison of performance and emissions of EF7 engine for different conditions.

پارامتر	پاشش راهگاهی	پاشش یک مرحله‌ای	پاشش دو مرحله‌ای	پاشش دو مرحله‌ای	پارامتر
فشار متوسط مؤثر اندیکاتوری (بار)	5.30	5.32	5.28	5.05	
مونوکسید کربن (%)	0.43	0.48	0.43	0.59	
دی‌اکسید کربن (%)	11.78	11.79	11.75	12.59	
اکسیدهای نیتروژن (PPM)	1238	1380	1095	2000	
لامبدا	1.041	1.034	1.045	1.045	
جرم فیلم سوخت (kg)	5.34e-08	6.90e-08	6.82e-08	....	
ماکریم دمای احتراق (K)	2315	2318	2312	2420	

د) در پاشش دو مرحله‌ای سوخت تأخیر زیاد در پاشش ثانویه سبب تشکیل مخلوط غنی حول شمع می‌شود اما نتایج نشان داد که اشتغال‌پذیری مخلوط همگن با پاشش ثانویه سوخت در 500° CA به مرتبه بیشتر است. همچنین با تغییر نسبت سوخت پاشش شده در دو مرحله می‌توان کنترل بیشتری بر نسبت همارزی مخلوط در لحظه جرقه‌زنی داشت. نتایج نشان داد که مخلوط نسبتاً همگن در نسبت پاشش 80%-20% با نسبت همارزی 1.15 حول شمع احتراق بهتری را نسبت به سایر حالت‌ها نتیجه می‌دهد. در پاشش دو مرحله‌ای سوخت با نسبت‌های 80%-20% و 80%-10% و 90%-10% توان خروجی به ترتیب 5.1 و 4.7 درصد افزایش، اکسیدهای نیتروژن 38.1 و 28.3 درصد، مونوکسید کربن 19.4 و 28.3 درصد و دی‌اکسید کربن 6.4 درصد کاهش یافته‌است.

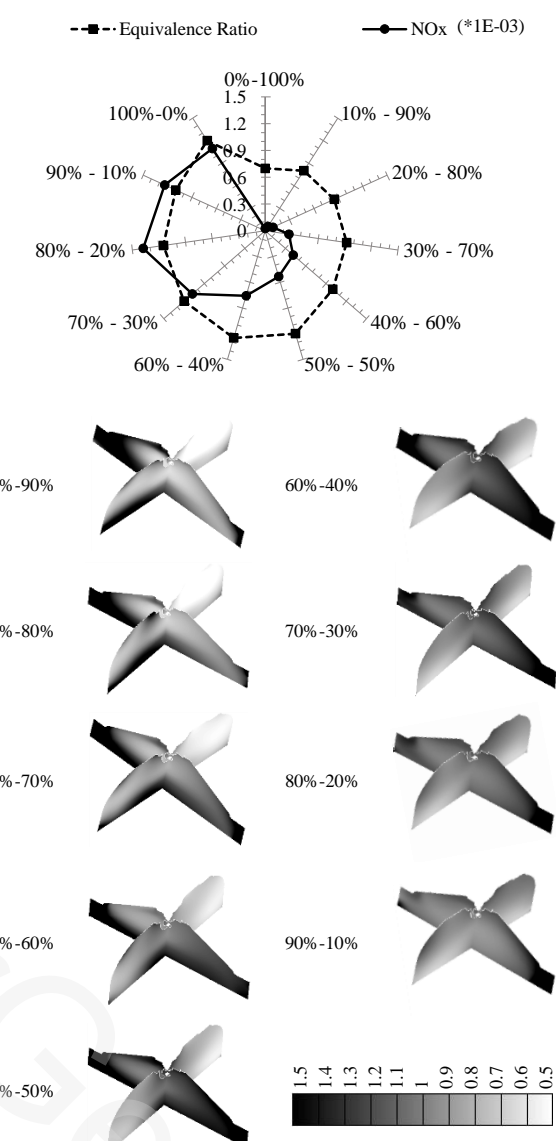


Fig. 20 The equivalence ratio near the spark plug at ignition timing and NO<sub>x</sub> emission at exhaust valve opening for different proportions of primary and secondary injection.

شکل 20 نسبت همارزی در نزدیکی شمع در لحظه جرقه‌زنی و مقادیر اکسیدهای نیتروژن در لحظه بازشدن سوپاپ دود برای نسبت‌های مختلف پاشش اولیه و ثانویه.

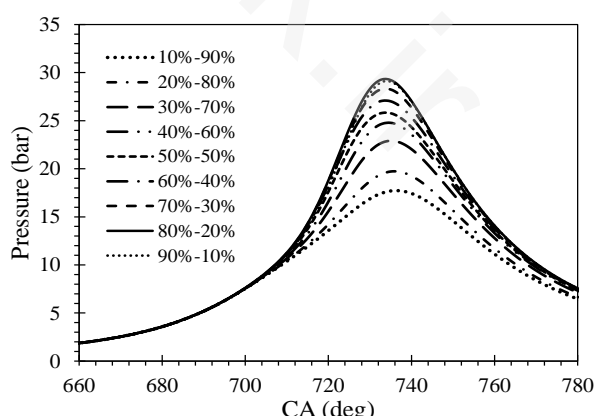


Fig. 21 The effect of injected fuel mass proportions at two-stage injection.

شکل 21 تأثیر نسبت‌های جرم سوخت پاشش شده در پاشش دو مرحله‌ای بر فشار محظوظ.

- No. 1, pp. 38- 50, 2016.
- [6] S. Sarmast, A. Shamekhi, M. Zia Basharhagh, A. Parivar, The effect of injector angle and start of injection on spray-wall interaction in gasoline direct injection engine, *Modares Mechanical Engineering*, Vol. 17, No. 1, pp. 95-105, 2017. (in Persian)
- [7] M. Costa, U. Sorge, L. Allocca, Increasing energy efficiency of a gasoline direct injection engine through optimal synchronization of single or double injection strategies, *Energy Conversion and Management*, Vol. 60, No. 1, pp. 77-86, 2012.
- [8] Zhaolei Zheng, Xuefeng Tian, Xiaoyu Zhang, Effects of split injection proportion and the second injection time on the mixture formation in a GDI engine under catalyst heating mode using stratified charge strategy, *Applied Thermal Engineering*, Vol. 84, No. 1, pp. 237-245, 2015.
- [9] C. Iyer, J. Yi, Spray Pattern Optimization for the Duratec 3.5L EcoBoost Engine, *SAE International Journal*, Vol. 2, No. 1, pp. 1679-1689, No. 0099-01916, 2009.
- [10] M. Costa, F. Catapano, P. Sementa, U. Sorge, B.M. Vaglieco, Mixture preparation and combustion in a GDI engine under stoichiometric or lean charge: an experimental and numerical study on an optically accessible engine, *Applied Energy*, Vol. 180, No. 1, pp. 86-103, 2016.
- [11] H. Zamani Haghghi, V. Hosseini, H. Afshin, L. Allocca, M. Baloo, Fuel direct injection to EF7 national engine in order to investigation of effect of late injection on mixture formation and combustion, *9th International Conference on Internal Combustion Engines and Oil (ICICE&O-9)*, Tehran, Iran, February 16-18, 2016.(in persian)
- [12] W. Edelbauer, Coupling of 3D Eulerian and Lagrangian Spray Approaches in Industrial Combustion Engine Simulations, *Journal of Energy and Power Engineering*, Vol. 8, No. 1, pp. 190-200, 2014.
- [13] W. A. Sirignano, *Fluid dynamics and transport of droplets and sprays*, Second Edition, pp. 4-6, United Kingdom: Cambridge University Press, 1999.
- [14] M. Costa, U. Sorge, L. Allocca, Numerical study of the mixture formation process in a four-stroke GDI engine for two-wheel applications, *Simulation Modelling Practice and Theory*, Vol. 19, No. 4, pp. 1212-1226, 2011.
- [15] I. Semenov, P. Utkin, I. Akhmedyanov, P. Pasynkov, A. Popov, Mathematical models and numerical algorithm for the dynamics of gas-droplets flows investigations using high performance computing, *International Conference on Parallel and Distributed Computing Systems*, Ukraine, Kharkiv, March 13-14, 2013.
- [16] M.M. Naghizadeh, A.R. Ghahremani, M.H. Saidi, Numerical simulation of spray characteristics of bio-ethanol and its blend with gasoline in a direct injection combustion chamber, *Modares Mechanical Engineering*, Vol. 15, No. 4, pp. 112-122, 2015. (in Persian)
- [17] M. Zellat, D. Abouri, T. Conte, Advanced modeling of DI Diesel Engines: Investigations on Combustion, High EGR level and multiple-injection Application to DI Diesel Combustion Optimization, *15th International Multidimensional Engine User's Meeting at the SAE Congress*, Detroit, April-10, , 2005.
- [18] J. B. Heywood, *Internal Combustion Engine Fundamentals*, pp. 386-388, New York: McGraw-Hill, 1988.
- [19] M. Mhlbauer, *Modelling wall interactions of a high-pressure, hollow cone spray*, PhD thesis, Technical University of Darmstadt, 2009.

تنش برشی ( $\text{kgm}^{-1}\text{s}^{-2}$ )	$\tau$
طول موج بی بعد ناپایدارترین موج در سطح تماس مایع-گاز	$\lambda^*$
دلتای کرونکر	$\delta$
عدد بی بعد	$\Pi$
زاویه میل لنگ	$\theta$
زیرنویس‌ها	
مقدار متوسط	Ave
بخار	$g$
آنالپی	$h$
جهت مختصات	$i, j, k$
مایع	$l$
جرم	$m$
فشاری	$p$
نسبی	rel
حجمی	$V$

## 9- تقدیر و تشکر

نویسنده‌گان مقاله بدن وسیله تشکر و قدردانی خود را از مرکز تحقیق، طراحی و تولید موتور ایران خودرو (ایپکو) و مرکز پژوهش‌های سریع دانشگاه صنعتی خواجه نصیرالدین طوسی ابراز می‌دارند.

## 10- مراجع

- [1] F. Zhao, T. W. Asmus, D. N. Assanis, J. E. Dec, J. A. Eng, P. M. Najt, *Homogeneous Charge Compression Ignition (HCCI) Engines: Key Research and Development Issues*, pp. 1-15, United States: SAE International, 2003.
- [2] M. Bahattin Celik, B. Ozdalyan, *Fuel Injection*, Daniela Siano (Ed.), *Gasoline Direct Injection*, pp. 6-10, InTechOpen, 2010.
- [3] G. P. Merker, C. Schwarz, G. Stiesch, F. Otto, *Simulating Combustion: Simulation of combustion and pollutant formation for engine-development*, First Edition, pp. 83-85, Springer: Verlag Berlin Heidelberg, 2004.
- [4] A. M. K. P. Taylor, Science review of internal combustion engines, *Energy Policy*, Vol. 36, No. 12, pp. 4657-4667, 2008.
- [5] S. Boccardi, F. Catapano, M. Costa, P. Sementa, U. Sorge, B. M. Vaglieco, Optimization of a GDI engine operation in the absence of knocking through numerical 1D and 3D modeling, *Advances in Engineering Software*, Vol. 95,